

## Список литературы

1. Mani R G et al. *Nature* **420** 646 (2002); Zudov M A et al. *Phys. Rev. Lett.* **90** 046807 (2003)
2. Fitzgerald R *Phys. Today* **56** 24 (2003)
3. Durst A C, Girvin S H *Science* **304** 1762 (2004)
4. Елесин В Ф, Маныкин Э А *Письма в ЖЭТФ* **3** 26 (1966)
5. Елесин В Ф *Письма в ЖЭТФ* **7** 229 (1968)
6. Рыжий В Н *Письма в ЖЭТФ* **7** 28 (1968); *ФТТ* **11** 2577 (1969)
7. Елесин В Ф, Маныкин Э А *ЖЭТФ* **50** 1381 (1966); *ФТТ* **8** 2945 (1966); *ФТТ* **8** 3621 (1966)
8. Елесин В Ф *ЖЭТФ* **55** 792 (1968)
9. Александров А С и др. *Письма в ЖЭТФ* **12** 57 (1970)
10. Александров А С и др. *ЖЭТФ* **64** 231 (1973)
11. Александров А С и др. *ФТТ* **19** (6) 231 (1977)
12. Гантмахер В Ф, Зверев В Н *ЖЭТФ* **71** 2314 (1976); *Письма в ЖЭТФ* **25** 44 (1977)
13. Krömer H *Phys. Rev.* **109** 1856 (1958)
14. Krömer H *Proc. IRE* **47** 231 (1959)
15. Каган Ю *ЖЭТФ* **38** 1854 (1960)
16. Habegger M A, Fan H Y *Phys. Rev. Lett.* **12** 99 (1964)
17. Наследов Д Н, Попов Ю Г, Сметаникова Ю С *ФТТ* **6** 3728 (1964)
18. Рывкин С М *Фотоэлектрические явления в полупроводниках* (М.: Физматгиз, 1963)
19. Келдыш Л В Дисс. ... докт. физ.-мат. наук (М.: ФИАН, 1965)
20. Захаров А Л *ЖЭТФ* **38** 665 (1960)
21. Александров А С, Елесин В Ф *ЖЭТФ* **58** 1067 (1970)
22. Adams E N, Holstein T D *J. Phys. Chem. Solids* **10** 254 (1959)

PACS numbers: 72.20.-i, 72.20.My, 72.40.+w

## Магнитопримесные резонансы как индикатор инверсной функции распределения фотоэлектронов в полупроводниках

В.Ф. Гантмахер, В.Н. Зверев

Механизм абсолютной отрицательной проводимости, обусловленный специфическими особенностями поведения электронов в скрещенных электрическом и квантующим магнитном полях был предсказан Елесиным в 1968 г. [1] и наблюдался экспериментально в работе Александрова и др. [2]. Согласно [1], из-за того, что плотность состояний в магнитной подзоне  $g(\varepsilon) \sim \varepsilon^{-1/2}$  — убывающая функция энергии, электрон, находящийся достаточно высоко над дном подзоны, при упругих и квазиупругих столкновениях рассеивается преимущественно таким образом, что его потенциальная энергия увеличивается за счет кинетической. Закон сохранения энергии при таких столкновениях имеет вид

$$eE\Delta X + \Delta\varepsilon \pm u = 0, \quad (1)$$

где первые два члена — изменение потенциальной и кинетической энергий электрона,  $\Delta X$  — смещение центра ларморовской орбиты, а  $u$  — энергия поглощаемого или испускаемого акустического фонона. (Величина  $u$  добавляется в (1) при рассеянии на фононах; условие квазиупругости при этом выражается неравенством  $\varepsilon \gg u$ .)

Для электронов с энергией  $\varepsilon > eE\Delta X$  среднее значение  $eE\Delta X > 0$ . При равновесной функции распределения этот отрицательный вклад в проводимость компенсируется положительным вкладом электронов, находящихся вблизи дна подзоны в области энергий  $\varepsilon \leq eE\Delta X$ . Если же

по каким-то причинам вблизи дна подзоны электронов слишком мало, то в сильном магнитном и перпендикулярном ему электрическом поле суммарная проводимость этой группы носителей может оказаться отрицательной.

В эксперименте [2] неравновесные электроны рождались за счет межзонной монохроматической подсветки в прямозонном полупроводнике p-InSb при гелиевых температурах. Из-за того, что время жизни фотоэлектронов было значительно меньше характерного времени релаксации по энергии, функция распределения электронов оказывалась существенно неравновесной и определялась формой линии источника света. Поэтому всякий раз, когда электроны рождались вблизи краев магнитных подзон, в спектре фототока возникал отрицательный минимум, обусловленный эффектом абсолютной отрицательной проводимости.

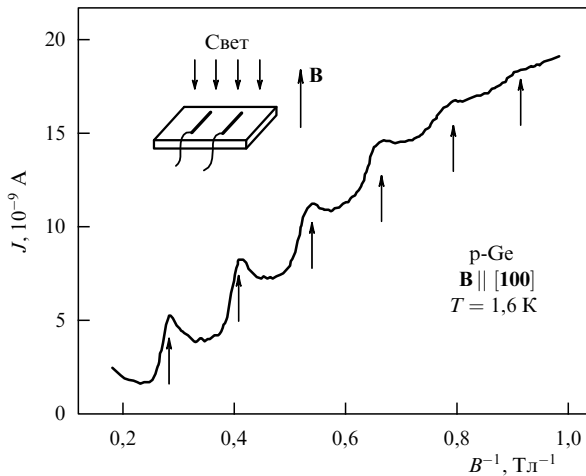
Необходимым (но, конечно, не достаточным) условием существования эффекта абсолютной отрицательной проводимости является наличие участка с положительной производной  $\partial f/\partial\varepsilon > 0$  у функции распределения. По-видимому, впервые на это обстоятельство было указано в теоретической работе [3] при анализе отклика циклотронного резонанса в проводимости полупроводников с отрицательными эффективными массами. Для низкочастотного транспорта в скрещенных электрическом и магнитном полях это проще всего показать в рамках модели, в которой процессы обмена энергии электронной системы описываются на языке диффузии электронов в энергетическом пространстве [4, 5]. Энергия, получаемая от электрического поля,  $(\partial U/\partial t)_E$  в этой модели равна

$$\left( \frac{\partial U}{\partial t} \right)_E = - \int_0^\infty D_\varepsilon \frac{\partial f}{\partial \varepsilon} g \, d\varepsilon, \quad (2)$$

где  $D_\varepsilon$  — коэффициент диффузии вдоль  $\varepsilon$ -оси, определяемый смещениями центра ларморовской орбиты при столкновениях [5]. Из формулы (2) видно, что неравенство  $(\partial U/\partial t)_E < 0$  возможно лишь при наличии участка с  $\partial f/\partial\varepsilon > 0$ . Кроме того, видно, что при заданной функции  $f(\varepsilon)$  интеграл (2) может быть положительным для одной функции  $D_\varepsilon$ , т. е. для одного типа рассеивающих центров, и отрицательным для другого типа.

В приложении к двумерным системам механизмы абсолютной отрицательной проводимости при неупругих процессах теоретически исследовал Рыжий [6]. Экспериментальная реализация сделанных им предсказаний задержалась на 30 лет. Сравнительно недавно в GaAs/AlGaAs — гетероструктурах с высокоподвижными двумерными электронами, подверженными интенсивному микроволновому облучению [7], были обнаружены состояния образца с нулевым сопротивлением. Все существующие теоретические модели [8], описывающие обнаруженное явление, в той или иной степени базируются на механизме абсолютной отрицательной проводимости при возникновении существенной неравновесности в функции распределения электронов под действием микроволнового излучения [1, 6].

Эксперименты с гетероструктурами стимулировали возрождение интереса к данной тематике. В связи с этим представляется целесообразным вернуться к нашим старым экспериментам по низкотемпературному магнитотранспорту в фотовозбужденном германии, легиро-



**Рис. 1.** Магнитопримесные осцилляции фотопроводимости на образце p-Ge, легированном галлием.  $N_{\text{Ga}} = 2 \times 10^{14} \text{ см}^{-3}$ , тянущее поле  $E = 3,5 \text{ В см}^{-1}$ , темп межзонной генерации  $G = 10^{17} \text{ см}^{-3} \text{ с}^{-1}$ , длина волны света  $\lambda = 0,63 \text{ мкм}$ .

ванных мелкими акцепторными примесями [9]. В этих экспериментах удалось при исследовании магнитопримесных осцилляций зарегистрировать отрицательный вклад в проводимость в скрещенных электрическом и квантующем магнитном полях, обусловленный искажением функции распределения фотоэлектронов. Магнитопримесные осцилляции представляют собой периодические в шкале обратного магнитного поля максимумы фототока (рис. 1), обусловленные резонансами в процессах неупругого рассеяния, когда расстояние между уровнями Ландау сравнивается с характерной энергией примесных центров. Резонансные процессы неупругого рассеяния и входящие в них характерные энергии могут быть довольно разнообразными [10]. В частности, в p-Ge резонансными являются процессы распада экситона на ионизованном акцепторе [11]. При таком распаде, являющемся разновидностью оже-процесса (рис. 2), дырка переходит на уровень основного состояния акцеп-

тора, а электрон уходит в зону проводимости с избыточной энергией  $\Delta\varepsilon = E_a - E_{\text{ex}}$ , равной разности энергий связи акцептора и экситона в германии. В квантующем магнитном поле распад экситона на ионизованных акцепторах носит резонансный по магнитному полю характер, т.е. его вероятность резко возрастает всякий раз, когда электрон оказывается на одном из уровней Ландау. В резонансе

$$\hbar\Omega_c(n + 1/2) = \Delta\varepsilon, \quad n = 1, 2, \dots, \quad (3)$$

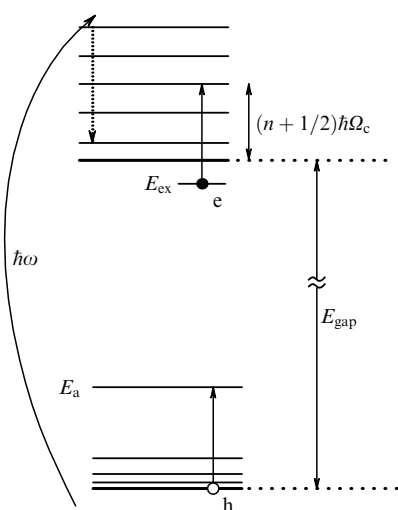
где  $\Omega_c = eB/m^*c$  — циклотронная частота электрона. Из соотношения (3) следует периодичность осцилляций в шкале обратного магнитного поля с периодом  $P_{1/B} = e\hbar/m^*c\Delta\varepsilon$ , зависящим от величины характерной энергии  $\Delta\varepsilon \approx \Delta\varepsilon(0) = E_a(0) - E_{\text{ex}}(0)$ , передающейся электрону при неупругом процессе. Отметим, что линейный по магнитному полю член в зависимости  $\Delta\varepsilon(B)$ , как и слагаемое  $1/2$  в правой части уравнения (3), не влияет на период осцилляций, приводя лишь к фазовому сдвигу в шкале  $1/B$ , а нелинейные члены малы и практически не нарушают периодичности осцилляций.

Таблица.

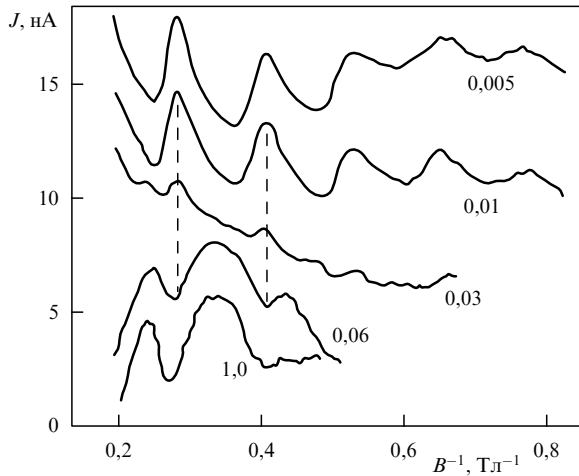
Акцептор	$\Delta\varepsilon, \text{ мэВ}$	$E_a - E_{\text{ex}}, \text{ мэВ}$
In	7,5	7,57
Ga	6,85	6,92
B	6,25	6,42

Как видно из приведенной таблицы, величины характерных энергий  $\Delta\varepsilon$ , полученные из периода магнитопримесных осцилляций на образцах с разными акцепторными примесями, с высокой точностью совпадают с соответствующими значениями  $E_a(0) - E_{\text{ex}}(0)$ , известными из спектроскопических измерений. Вывод о том, что наблюдаемые осцилляции обусловлены именно процессом резонансного распада экситона на ионизованных акцепторах [11], был сделан главным образом на основании этих совпадений, хотя первоначально у этих резонансов были и иные объяснения [12]. Этот выбор был подтвержден и специальными экспериментами под давлением [13].

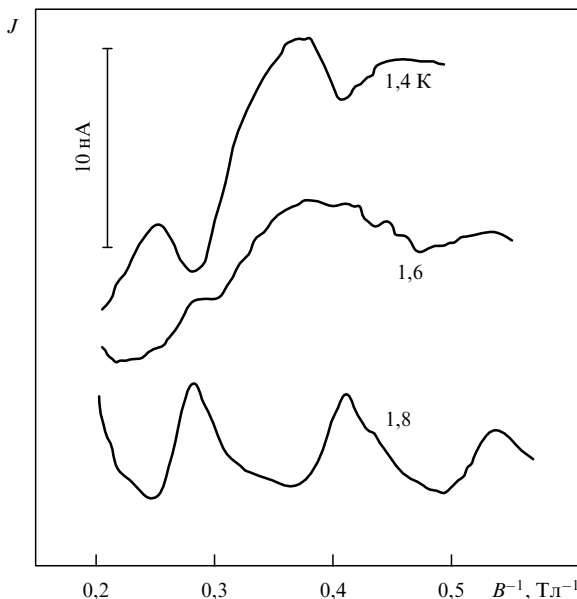
Несмотря на то, что исследуемая неравновесная система довольно сложна и включает в себя, помимо электронов, неравновесные дырки и экситоны, а также нейтральные и ионизованные акцепторы, главное изменение в резонансах — это увеличение концентрации неравновесных электронов, что и проявляется в виде максимумов фототока (см. рис. 1). Такая форма резонансов сохраняется в широком диапазоне темпов межзонной генерации  $G$ , однако при увеличении  $G$  в определенный момент наступает инверсия осцилляций — максимумы превращаются в минимумы, как это видно из рис. 3. Инверсия магнитопримесных осцилляций была обнаружена и подробно исследована нами в [9]. Было установлено, что инверсия возникает в интервале темпов генерации  $10^{18} - 10^{19} \text{ см}^{-3} \text{ с}^{-1}$ . Оказалось, что ее можно наблюдать не только при изменении темпа генерации  $G$ , но и при изменении температуры (рис. 4). Критические значения  $G_1$  и  $T$  связаны между собой: чем выше температура  $T$ , тем больше темп генерации  $G_1$ , при котором происходит инверсия (см. верхнюю кривую на рис. 5).



**Рис. 2.** Энергетическая диаграмма, иллюстрирующая элементарный процесс неупругого рассеяния, приводящий к магнитопримесным осцилляциям в p-Ge, — распад экситона на ионизованном акцепторе.



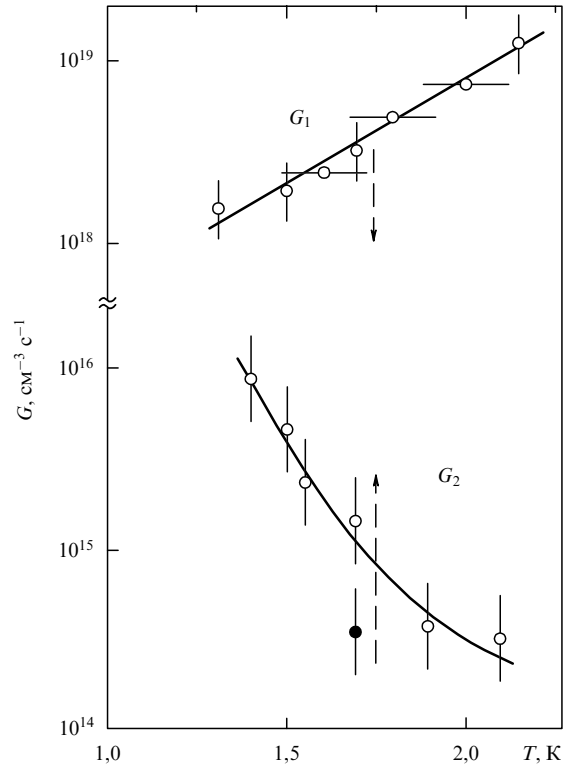
**Рис. 3.** Инверсия осцилляций фотопроводимости в p-Ge при изменении интенсивности межзонной подсветки. Числами у кривых указан темп генерации  $G$  в единицах  $10^{20} \text{ см}^{-3} \text{ с}^{-1}$ ;  $T = 1,5 \text{ К}$ , тянущее поле  $E = 3,5 \text{ В см}^{-1}$ . Здесь и ниже монотонный ход  $J(B^{-1})$  скомпенсирован.



**Рис. 4.** Инверсия осцилляций фототока при изменении температуры;  $G = 2 \times 10^{18} \text{ см}^{-3} \text{ с}^{-1}$ , тянущее поле  $E = 5 \text{ В см}^{-1}$ .

Измеряя зависимости фототока от температуры  $J(T)$  при постоянном магнитном поле, удалось установить корреляцию между моментом инверсии магнитопримесных осцилляций фототока и характером зависимости  $J(T)$ . Инверсия происходит при тех же значениях  $T$  и  $G$ , при которых на кривых  $J(T)$  наблюдаются изломы, разделяющие области сильной и слабой температурной зависимости фототока (рис. 6). Там, где фототок практически не зависит от температуры, резонансы имеют форму минимумов, а в области сильного роста фототока с повышением температуры — форму максимумов.

Относительная амплитуда осцилляций  $A$  при уменьшении темпа генерации ниже  $G_1$  сначала слабо возрастает, достигая максимальной величины при значениях  $G$ , лежащих для разных образцов в интервале от  $2 \times 10^{16}$  до  $2 \times 10^{17} \text{ см}^{-3} \text{ с}^{-1}$ . При дальнейшем уменьшении



**Рис. 5.** Связь между значениями  $G$  и  $T$ , при которых происходит инверсия осцилляций. Точки с вертикальными отрезками получены из серии кривых с разными  $G$  при  $T = \text{const}$ , точки с горизонтальными отрезками — с разными  $T$  при  $G = \text{const}$ . Кривая  $G_1(T)$  снята при  $E = 5 \text{ В см}^{-1}$ . При увеличении  $E$  она начинает смещаться в сторону, указанную стрелкой. Кривая  $G_2(T)$  снята при  $E = 7 \text{ В см}^{-1}$ . Ее смещение с полем тоже показано стрелкой. Черная точка:  $E = 5 \text{ В см}^{-1}$ .

темперы генерации величина  $A$  падает, и осцилляции пропадают при  $G \approx 10^{15} - 10^{14} \text{ см}^{-3} \text{ с}^{-1}$ .

Такая зависимость  $A(G)$  имеет место лишь при достаточно малых электрических полях  $E$ . При низких темпах генерации, однако, даже сравнительно небольшое увеличение поля  $E$  снова приводило к инверсии осцилляций (рис. 7). Появление этой второй инверсии отображено на рис. 5 кривой  $G_2(T)$ . При уменьшении  $E$  кривая  $G_2(T)$  смещается вниз и выходит на уровень исчезновения осцилляций (т.е. при малых  $E$  осцилляции пропадают, не испытав инверсии). Смещение кривой  $G_2(T)$  вверх при увеличении  $E$  ограничено: в области  $G \approx 10^{17} \text{ см}^{-3} \text{ с}^{-1}$  электрическое поле уже вообще не вызывает инверсии, а максимумы фототока в резонансах сохраняются вплоть до низкотемпературного пробоя. Наконец, при еще больших значениях  $G$  (но несколько меньших  $G_1$ ) электрическое поле снова стимулирует инверсию, приводя к сдвигу кривой  $G_1(T)$  вниз. Практически этот сдвиг заметен в полях порядка  $10 \text{ В см}^{-1}$ .

Таким образом, увеличение электрического поля приводит к инверсии осцилляций при низком и высоком темпах генерации  $G$ ; при промежуточных значениях  $G$  магнитопримесные резонансы сохраняют форму максимумов, несмотря на несомненный нагрев электронной системы, приводящий даже к низкотемпературному пробою.

В дальнейших рассуждениях будем исходить из следующих положений. Все носители в наших экспери-

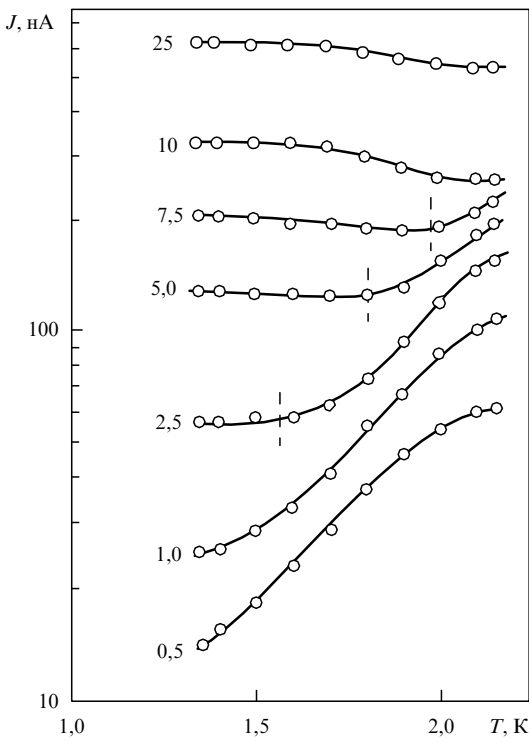


Рис. 6. Зависимость фототока от температуры при разных темпах генерации. Около кривых указана величина  $G$  в единицах  $10^{18} \text{ см}^{-3} \text{ с}^{-1}$ ;  $B = 28,5 \text{ кЭ}$ ,  $E = 5 \text{ В см}^{-1}$ . Температуры, при которых при соответствующих значениях  $G$  происходит инверсия, отмечены вертикальными линиями.

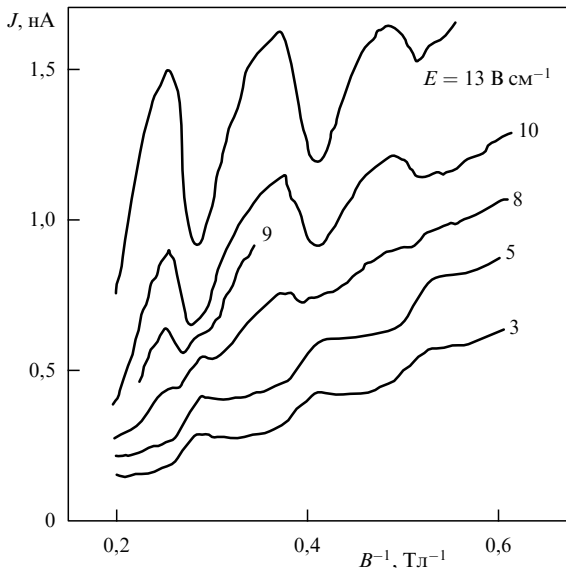


Рис. 7. Инверсия осцилляций фототока при изменении напряженности электрического поля в области малых темпов генерации;  $G = 6 \times 10^{15} \text{ см}^{-3} \text{ с}^{-1}$ ,  $T = 1,4 \text{ К}$ .

ментах являются фотоносителями — равновесные концентрации электронов и дырок при гелиевых температурах пренебрежимо малы. Электроны с энергией, большей энергии оптического фонона, не играют существенной роли в кинетике, так как и суммарный коэффициент диффузии вдоль магнитного поля  $B$ , и суммарная подвижность поперек поля  $B$  определяются электронами с

меньшей энергией. Носители распределены равномерно по глубине образца.

Характерная энергия, передаваемая электрическим полем электронам  $\delta\varepsilon \approx eEL$ , определяется магнитной длиной  $L = (ch/eB)^{1/2}$ . В полях  $7 \text{ В см}^{-1}$ , вызывающих инверсию осцилляций при низких темпах генерации (кривая  $G_2$  на рис. 5), величина  $\delta\varepsilon \approx 0,1 \text{ К}$  при  $B \approx 40 \text{ кЭ}$ , и разогрев может быть существенен лишь для холодных носителей с малой кинетической энергией  $\varepsilon$  в подзоне Ландау. Поэтому инверсия осцилляций в сравнительно слабых электрических полях, а также ее зависимость от  $T$  (кривая  $G_2$ ) подтверждают, что основной вклад в фототок вносят именно холодные носители.

Все изложенные экспериментальные результаты хорошо укладываются в единую схему, если предположить, что максимумы фототока в резонансах наблюдаются при больцмановской функции распределения электронов  $f(\varepsilon) = f_0 \exp(-\varepsilon/kT_e)$  в области энергий  $\varepsilon \ll \Delta E$  (возможно даже с электронной температурой  $T_e \neq T$ ) и что превращение их в минимумы происходит при сильном отклонении функции распределения от больцмановской.

При больцмановской функции  $f(\varepsilon)$  максимумы фототока в резонансах объясняются довольно естественно — за счет увеличения концентрации неравновесных электронов. Превращение их в минимумы может быть связано с механизмом отрицательной проводимости в скрещенных электрическом и магнитном полях в ультраквантовом случае, предложенном Елесиным [1]. Таким образом, наше предположение о причинах инверсии означает, что при увеличении темпа генерации  $G$  и при увеличении поля  $E$  при малых  $G$  у функции распределения появляется участок с  $\partial f/\partial\varepsilon > 0$ . Это предположение довольно трудно строго обосновать, в частности потому, что пока нет теоретических расчетов процессов, формирующих функцию распределения  $f(\varepsilon)$  в специфических условиях наших экспериментов. Однако можно привести ряд качественных аргументов.

В первую очередь это относится к электрон-фононному взаимодействию. Поскольку при  $\mathbf{B} \parallel [100]$  поступательное движение электронов в германии описывается эффективной массой  $m^* = 1,43m_0$ , а скорость продольного звука  $s \approx 5 \times 10^5 \text{ см с}^{-1}$ , то величина  $m^*s^2 \approx 2,5 \text{ К}$ . Условие

$$m^*s^2 > kT \quad (4)$$

означает, что тепловая скорость  $v_T = (kT/m^*)^{1/2} < s$ , так что термализованные электроны не только не могут испускать фононы, но определенные ограничения накладываются и на их поглощение. Это приводит к резкому уменьшению обмена энергией между электронами и фононами, что чрезвычайно существенно, так как именно в фононную систему должна уходить энергия электрона на последней стадии его термализации, а также энергия, получаемая им от электрического поля. Заметим, что парные электрон-электронные столкновения в ультраквантовом пределе по магнитному полю  $\hbar\Omega > \varepsilon$  не влияют на функцию распределения (см. [14]).

Приведем теперь экспериментальные доводы. Сначала по поводу инверсии  $G_1$ . Наиболее вероятные каналы рекомбинации — это связывание в экситоны и захват электронов на  $A^+$ -центры [15]. Вероятность обоих процессов растет с уменьшением  $\varepsilon$ , поскольку оба они

основаны на кулоновском взаимодействии. Кроме того, оба являются процессами квадратичной рекомбинации (последний — при не слишком низких температурах). Поэтому количество холодных носителей  $n_1 \sim G^{1/2}$ , в то время как количество теплых, еще оставающихся носителей  $n_2 \sim G$ . Ясно, что при увеличении  $G$  наступит момент, когда теплых электронов станет больше, чем холодных:  $n_2 > n_1$  при

$$G > G_1 \approx \tau_c^{-2} \chi^{-1}, \quad (5)$$

где  $\tau_c$  — время остывания, а  $\chi$  — кинетический коэффициент рекомбинации, связанный с временем жизни  $\tau = (\chi n)^{-1}$ . При  $G > G_1$  в функции распределения может возникнуть максимум при энергии, определяемой из уравнения  $\tau_c(\varepsilon) = \tau(\varepsilon)$  [16].

Естественно, что складывающееся при этом неравновесное распределение уже не должно зависеть от  $T$ . Поэтому наличие изломов на кривых рис. 6 подтверждает правильность предложенного объяснения. (Слабая температурная зависимость левее излома может объясняться, например, изменениями в системе рассеивателей.)

С этой точки зрения понятно и действие электрического поля при темпах генерации  $G \leq G_1$ . Нагрев полем приводит к тому же эффекту (инверсии), что и понижение температуры: увеличить  $\tau_c$  можно как включив нагрев и замедлив этим скорость охлаждения электронов, так и понизив конечную температуру охлаждения.

Механизм искажения функции распределения, приводящий к инверсии под влиянием электрического поля при низких темпах генерации  $G$  (инверсия  $G_2$ , см. рис. 5), вероятно, несколько иной. Из-за большой величины  $m^* s^2$  электроны с малыми  $\varepsilon$  могут отдавать приобретаемую от поля энергию в основном при электрон-экситонных или тройных электрон-электронных столкновениях. Если эти столкновения слишком редки из-за низкой концентрации возбуждений, то под действием электрического поля должно произойти эффективное обеднение дна подзоны Ландау.

При больших темпах генерации электрон-электронные столкновения стабилизируют функцию распределения, делают ее больцмановской и сводят роль разогрева к отрыву эффективной электронной температуры  $T_e$  от температуры ванны  $T$ . Поэтому инверсия осцилляций не наступает вплоть до низкотемпературного пробоя.

Может возникнуть вопрос, почему, эффективно выполняя перемешивание электронов в области  $G \sim 10^{17} \text{ см}^{-3} \text{ с}^{-1}$ , электрон-электронные столкновения не справляются с этой задачей при больших накачках  $G \geq G_1$ , когда плотность возбуждений выше. Возможно, дело в том, что в этих случаях существенны разные интервалы энергий. Электрическое поле при  $G \approx G_2$  искажает распределение вблизи самого дна подзоны, в то время как при  $G \geq G_1$  функция распределения искажается в области  $\varepsilon > kT$ .

## Список литературы

1. Елесин В Ф *ЖЭТФ* **55** 792 (1968)
2. Александров А С и др. *ЖЭТФ* **64** 231 (1973)
3. Каган Ю *ЖЭТФ* **38** 1854 (1960)
4. Левинсон И Б *ФТТ* **6** 2113 (1964)
5. Yamada E, Kurosawa T *J. Phys. Soc. Jpn.* **34** 603 (1973)
6. Рыжий В И *ЖЭТФ* **64** 643 (1973)
7. Mani R G et al. *Nature* **420** 646 (2002); Zudov M A et al. *Phys. Rev. Lett.* **90** 046807 (2003); Yang C L et al. *Phys. Rev. Lett.* **91** 096803 (2003); Dorozhkin S I *Письма в ЖЭТФ* **77** 681 (2003); Willett R L, Pfeiffer L N, West K W *Phys. Rev. Lett.* **93** 026804 (2004)
8. Dorozhkin S I *Письма в ЖЭТФ* **77** 681 (2003); Dmitriev I A et al., cond-mat/0310668; Dietel J et al., cond-mat/0407298
9. Гантмахер В Ф, Зверев В Н *ЖЭТФ* **71** 2314 (1976)
10. Gantmakher V F, Zverev V N, in *Landau Level Spectroscopy* Vol. 2 (Modern Problems in Condensed Matter Sci., Vol. 27.2, Eds G Landwehr, E I Rashba) (Amsterdam: North-Holland, 1991) p. 1135
11. Гантмахер В Ф и др. *Изв. АН СССР. Сер. Физ.* **42** 1160 (1978); Гантмахер В Ф, Зверев В Н, Шовкун Д В *ФТП* **22** 575 (1988)
12. Гантмахер В Ф, Зверев В Н *ЖЭТФ* **69** 695 (1975)
13. Зверев В Н *ФТТ* **19** 2015 (1977)
14. Коган Ш М, Шадрин В Д, Шульман А Я *ЖЭТФ* **68** 1377 (1975)
15. Гершензон Е М, Ладыгинский Ю П, Мельников А П *ФТП* **7** 1100 (1968)
16. Ладыгинский Ю П *ФТТ* **11** 2282 (1969)

PACS numbers: 72.20.-i, 72.20.My, 72.40.+w

## Абсолютная отрицательная проводимость, индуцированная микроволновым излучением, и состояния с нулевым сопротивлением в двумерных электронных системах: история и современное состояние

В.И. Рыжий

### 1. Введение

Приведен краткий обзор истории эффекта абсолютной отрицательной проводимости в полупроводниковых структурах и результатов последнего времени. Основное внимание уделено проявлению этого эффекта в двумерных электронных системах, помещенных в магнитное поле и подверженных микроволновому излучению. Обсуждаются состояния с нулевой проводимостью (zero-conductance) и нулевым сопротивлением (zero-resistance), которые были обнаружены в недавних экспериментах.

На возможность появления отрицательной проводимости на постоянном токе в неравновесной электронной системе, т.е. на ситуацию, когда ток  $\mathbf{J}$  течет в направлении, противоположном электрическому полю  $\mathbf{E}$ , впервые указал Крёмер в конце 1950-х годов [1] в связи с отрицательной электронной массой. В этом случае обычная проводимость  $\sigma_D = \mathbf{JE}/E^2 < 0$ , что означает, фактически, эффект абсолютной отрицательной проводимости (АОП). Этот эффект следует отличать от эффекта отрицательной дифференциальной проводимости (ОДП), который проявляется во многих полупроводниковых структурах, в частности, в диодах Ганна. Разнообразные и вполне реалистические механизмы АОП в двумерных и трехмерных электронных системах (ДЭС и ТЭС, соответственно), в которых существенное отклонение от равновесия было вызвано внутризонным и межзонным поглощением света, были предложены более 30 лет назад [2–7] (см. также [8]). Механизм АОП в ДЭС, помещенной в магнитное и микроволновое поля, связанный с примесным рассеянием двумерных электронов, сопровождающимся поглощением микроволновых фотонов, был впервые предложен автором настоящего